

Рис. 6. Модель Ферхюльста

Розроблені математичні моделі узгоджені з відомими експериментальними даними, мають велике практичне значення – дозволяють визначити вплив кожного компоненту гуми на її властивості.

Література

1. Баранец И.В. Принципы формирования фазовой структуры, необходимые для усиления композиции// Сборник Rubber-94. - 1994. - Т.3. - С.241-248.
2. Гулдах Х., Табочкин Я. Компьютерное моделирование в физике. Ч2/ Пер. с англ. - М.: Мир. - 1990. - 400с.
3. Кухарь В.П. Влияние добавок ПАВ на деформационные свойства полиэпоксидов, наполненных каучуков// Высокмолекулярные соединения. Серия Б. - 1976. - XVIII. - №5. -С.301.

□   □

*Показана можливість погодженого збудження мм коливань в резонаторі з допомогою  $\vec{E}$  - поляризованої решітки, розташованої в розкритті рупорного випромінювача*

*Резонатор, дифракційна решітка, рупорні випромінювачі*

□   □

*Показана возможность согласованного возбуждения мм колебаний в резонаторе с помощью  $\vec{E}$  - поляризованной решетки, расположенной в раскрытие рупорного излучателя*

□   □

*Possibility of the concerted excitation of mm of vibrations is rotined in a resonator with a help  $\vec{E}$  - the polarized grate, located in raskryve of feedhorn*

*Resonator, diffraction grate, feedhorns*

□   □

УДК 631.371

# ВОЗБУЖДЕНИЕ КОЛЕБАНИЙ В ПРИЗМАТИЧЕСКОМ РЕЗОНАТОРЕ РУПОРНЫМИ ОБЛУЧАТЕЛЯМИ С $\vec{E}$ -ПОЛЯРИЗОВАННОЙ ДИФРАКЦИОННОЙ РЕШЕТКОЙ

П.В. Потапский

Л.Н. Михайлова

Подольский государственный аграрно-технический университет

**Постановка проблемы**

Для угнетения вредных микроорганизмов в шерсти перед ее классировкой необходима величина мощности в резонаторе с шерстью около 500 Вт. Накопить такую мощность в резонаторной системе с шерстью

можно лишь при согласованном возбуждении мм колебаний в резонаторе.

В связи с этим возникает необходимость рассмотреть задачу по размещению  $\vec{E}$  - поляризованной дифракционной решетке в раскрывах рупорных излучателей.

**Анализ предшествующих исследований**

Задача, связанная с согласованным возбуждением мм колебаний в резонаторе, может быть решена на основе материала для синтеза четырехполюсников и дифракции волн на решетках [1,2].

**Формирование целей статьи**

Целью настоящей статьи является обоснование согласованного возбуждения мм колебаний в резонаторе с помощью  $\vec{E}$  - поляризованной решетки, расположенной в раскрыве рупорного излучателя.

**Основная часть**

Рассмотрим модель резонатора, состоящую из двух неоднородностей 1 и 2 (рис. 1), и определим коэффициент отражения от такой системы. Длина резонатора равна  $z_0$ . Решение задачи будем искать в приближении плоских волн.

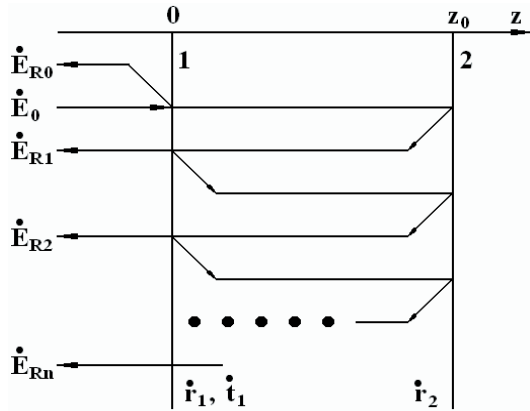


Рис. 1. Модель призматического резонатора с полупрозрачной торцевой стенкой

Обозначим коэффициенты отражения и передачи входной торцевой стенки резонатора ( $z=0$ ) через  $\dot{r}_1=r_1 \exp(j\varphi_{r1})$ ,  $\dot{t}_1=t_1 \exp(j\varphi_{t1})$ , а коэффициент отражения второй торцевой стенки ( $z=z_0$ ) через  $\dot{r}_2=r_2 \exp(j\varphi_{r2})$ . Здесь  $r_1, r_2$  и  $t_1$  - модули, а  $\varphi_{r1}, \varphi_{r2}$  и  $\varphi_{t1}$  - фазы коэффициентов отражения и передачи, соответственно.

Тогда можем написать

$$|t_1|^2 = 1 - |r_1|^2. \tag{1}$$

Поскольку, как мы отметили выше, входная торцевая стенка рассматриваемого резонатора представляет собой одномерную  $\vec{E}$  - поляризованную проволочную решетку, то  $|t_1|$  и  $|r_1|$  - коэффициенты передачи и отражения этой решетки. После взаимодействия падающей волны  $\dot{E}_0 = E_0 \exp(-jkz)$  с входной торцевой стенкой резонатора отраженная волна

$$\dot{E}_{R0} = \dot{r}_1 E_0 \exp(-jkz) \tag{2}$$

поступает в запитывающий тракт, а прошедшая волна  $\dot{E}_{np1} = \dot{t}_1 E_0$  (рис.1) на пути от плоскости 1 до плоскости 2 испытывает фазовый набег  $kz_0$ . После отражения от второй торцевой стенки она снова распространяется по резонатору и опять испытывает фазовый набег  $kz_0$ . Частично пройдя через входную торцевую стенку, эта волна поступает в запитывающий волновод

$$\dot{E}_{R1} = E_0 \dot{t}_1^2 \dot{r}_2 S_m^2 S_d^2 \exp(-jk(z+2z_0)), \tag{3}$$

где  $k=2\pi/\lambda$ ;  $S_m$  и  $S_d$  - резонансные коэффициенты передачи по полю за проход волны от одной торцевой стенки до другой, которые определяются потерями в металле, из которого изготовлен резонатор, и потерями в диэлектрике, заполняющем резонансный объем.

В общем случае  $S_m = \exp(-\alpha_m/2)$ ,  $\alpha_m = P_m/P_p$  и  $S_d = \exp(-\alpha_d/2)$ ,  $\alpha_d = P_d/P_p$ .

Здесь  $P_m$  и  $P_d$  - потери мощности в стенках резонатора и диэлектрике, а  $P_p$  - мощность, поступившая в резонатор.

Аналогичным образом запишем выражение для второй отраженной волны

$$\dot{E}_{R2} = E_0 \dot{t}_1^2 \dot{r}_2 S_m^2 S_d^2 \exp(-jk(z+2z_0)) (\dot{r}_1 \dot{r}_2 S_m^2 S_d^2 \exp(-j2kz_0)) \tag{4}$$

Теперь можем записать выражение для n - ой отраженной волны

$$\dot{E}_{Rn} = E_0 \dot{t}_1^2 \dot{r}_2 S_m^2 S_d^2 \exp(-jk(z+2z_0)) (\dot{r}_1 \dot{r}_2 S_m^2 S_d^2 \exp(-j2kz_0))^{n-1}. \tag{5}$$

Суммируя все волны (5), запишем комплексную амплитуду отраженной волны  $\dot{E}_{R\Sigma}$  на входе ( $z=0$ ) без учета (23)

$$\dot{E}_{R\Sigma} = E_0 \dot{t}_1^2 \dot{r}_2 S_m^2 S_d^2 \exp(-jk2z_0) \sum_{n=1}^{\infty} (\dot{r}_1 \dot{r}_2 S_m^2 S_d^2 \exp(-j2kz_0))^{n-1}. \tag{6}$$

Так как  $|r_1|, |r_2|, S_m$  и  $S_d$  в общем случае меньше единицы, то ряд (6) - сходящаяся геометрическая прогрессия, суммируя которую, получим выражение

$$\dot{E}_{R\Sigma} = E_0 \dot{t}_1^2 \dot{r}_2 S_m^2 S_d^2 \frac{\exp(-j(2kz_0 - 2\varphi_{t1} - \varphi_{r2}))}{1 - \dot{r}_1 \dot{r}_2 S_m^2 S_d^2 \exp(-j(2kz_0 - \varphi_{r1} - \varphi_{r2}))}. \tag{7}$$

При этом полное отраженное поле с учетом (2) записывается в виде

$$\dot{E}_R = \dot{E}_{R0} + \dot{E}_{R\Sigma}, \tag{8}$$

или

$$\dot{E}_R = E_0 r_1 \exp(j\varphi_{r1}) + E_0 R_\Sigma \exp(j\varphi_{R\Sigma}) \tag{9}$$

Для нахождения  $R_\Sigma$  и  $\varphi_{R\Sigma}$  введем обозначения

$$\begin{cases} \alpha = 2kz_0 - 2\varphi_{t1} - \varphi_{r2}, \\ \beta = 2kz_0 - \varphi_{r1} - \varphi_{r2}, \end{cases} \tag{10}$$

и воспользуемся формулой Эйлера [3]

$$\exp(\pm j\gamma) = \cos \gamma \pm j \sin \gamma.$$

Опуская промежуточные выкладки запишем в окончательном виде

$$R_{\Sigma} = \frac{t_1^2 r_2 S_m^2 S_d^2}{(1 - 2r_1 r_2 S_m^2 S_d^2 \cos \beta + (r_1 r_2 S_m^2 S_d^2)^2)^{1/2}}, \quad (11)$$

$$\varphi_{R\Sigma} = -\arcsin \frac{\sin \alpha + r_1 r_2 S_m^2 S_d^2 \sin(\beta - \alpha)}{(1 - 2r_1 r_2 S_m^2 S_d^2 \cos \beta + (r_1 r_2 S_m^2 S_d^2)^2)^{1/2}}. \quad (12)$$

Теперь запишем коэффициент отражения по полю от рассматриваемого резонатора

$$\dot{R} = \dot{E}_R / E_0 = R \exp(j\varphi_R), \quad (13)$$

или с учетом выражения (30)

$$\dot{R} = r_1 \exp(j\varphi_{r1}) + R_{\Sigma} \exp(j\varphi_{R\Sigma}), \quad (14)$$

или

$$\dot{R} = (r_1 \cos \varphi_{r1} + R_{\Sigma} \cos \varphi_{R\Sigma}) + j(r_1 \sin \varphi_{r1} + R_{\Sigma} \sin \varphi_{R\Sigma}) \quad (15)$$

Если теперь комплексное число (15) представить в показательной форме, то тогда получим

$$R = (r_1^2 + R_{\Sigma}^2 + 2r_1 R_{\Sigma} \cos(\varphi_{r1} - \varphi_{R\Sigma}))^{1/2}, \quad (16)$$

$$\varphi_R = \arcsin \frac{r_1 \sin \varphi_{r1} + R_{\Sigma} \sin \varphi_{R\Sigma}}{(r_1^2 + R_{\Sigma}^2 + 2r_1 R_{\Sigma} \cos(\varphi_{r1} - \varphi_{R\Sigma}))^{1/2}} \quad (17)$$

Для того, чтобы связать фазы коэффициентов отражения и передачи, воспользуемся выражениями для симметричного обратимого реактивного четырехполюсника [ 1 ]. В наших обозначениях эти выражения имеют вид

$$\begin{cases} \varphi_{r1} + \varphi_{r2} = 2\varphi_{t2} \pm \pi, \\ \varphi_{r1} = \varphi_{r2}; \varphi_{t1} = \varphi_{t2}. \end{cases} \quad (18)$$

С учетом соотношений (10) и (18) преобразуем синус разности  $\sin(\beta - \alpha)$ , входящий в выражение (12). После подстановок получим, что  $\sin(\beta - \alpha) = -\sin \varphi_{r1}$ , а уравнение (12) примет вид

$$\varphi_{R\Sigma} = -\arcsin \frac{\sin \alpha - r_1 r_2 S_m^2 S_d^2 \sin \varphi_{r1}}{(1 - 2r_1 r_2 S_m^2 S_d^2 \cos \beta + (r_1 r_2 S_m^2 S_d^2)^2)^{1/2}}. \quad (19)$$

Если теперь аналогичным образом преобразуем  $\sin \alpha$  и наложим условие резонанса

$\beta = 2kz_0 - \varphi_{r1} - \varphi_{r2} = 2\pi h, h=1,2,\dots$ , то тогда выражение (19) можем записать в окончательном виде

$$\varphi_{R\Sigma} = -(\pi - \varphi_{r1}) \quad (20)$$

Соотношение (11) тоже упростится, если на него наложить условие резонанса

$$R_{\Sigma} = \frac{t_1^2 r_2 S_m^2 S_d^2}{(1 - r_1 r_2 S_m^2 S_d^2)} \quad (21)$$

Рассмотрим выражение (16), которое после подстановки значения  $\varphi_{R\Sigma}$  из (20), примет вид

$$R = r_1 - R_{\Sigma} \quad (22)$$

После подстановки (21) в (22), получим уравнение для резонансного коэффициента отражения

$$R = r_1 - \frac{t_1^2 r_2 S_m^2 S_d^2}{(1 - r_1 r_2 S_m^2 S_d^2)} \quad (23)$$

Для того, чтобы найти при каком значении  $r_1$  будет иметь место согласованное возбуждение резонатора ( $R=0$ ), необходимо определить потери мощности в металлических стенках резонатора  $S_m$  (омические потери) и потери в диэлектрике  $S_d$ , заполняющем резонансный объем.

### Литература

1. Фельдштейн А.Л., Явич Л.Р. Синтез четырехполюсников и восьмиполусников на СВЧ.-М.:Связь, 1965.-352 с.
2. Шестопалов В.П., Литвиненко Л.Н., Масалов С.А., Сокологуб В.Г. Дифракция волн на решетках.- Харьков: Изд-во Харьковск. Ун-та, 1973.-288 с.
3. Бронштейн И.Н. Справочник по математике / И.Н. Бронштейн, К.А. Семендяев.-М.: Наука, 1986.-54 с.